

# Berggrunnskart

## Bedrock map

# LEBESBY

## 2136-2

1:50.000



2019

Geologiske kart og data på internett: [www.ngu.no](http://www.ngu.no)

### BERGARTER FREMSKJØVET UNDER DEN KALEDONISKE FJELLKJEDEDANNELSEN

#### ROCKS OVERTHRUST DURING THE CALEDONIAN OROGENY

#### Kalakdekkekomplekset (midtre dekkserie)

##### Kalak Nappe Complex (Middle Allochthon)

#### Bergarter av antatt mesoproterozoisk (sten) til neoproterozoisk alder

##### Rocks of inferred Mesoproterozoic (Stenian) to Neoproterozoic age

#### Omdannede sedimentære bergarter, stedvis med ganger av omdannet diabas

##### Metasedimentary rocks, in places with metadolomite dykes

- 1 Granat-muskovitt-biotittskifer, mørkegrå til gråbrun, dels med tynne lag (1 mm - 5 cm) av siltstein eller sandstein; stedvis sterkt mylonittisert og med linseformede retrograderte diabasganger
- 2 Siltig fyllitt eller skifer, lynniskifrig på mm-skala, inneholder bitte små granater, stedvis med lag av sandstein båndet på cm-skala; noen spredte retrograderte diabasganger
- 3 Sandstein og granat-glimmerskifer i veksling, med bånding på centimeter-skala; tykkere sandsteinslag (<1 m) med kryssjikt; nær Lebesby, mot dekkets bunn, sterkt mylonittisering med mye sekundær kvarts
- 4 Sandstein, feltspatiferende, i midtstore tykke eller tykke, kryssjiktete lag (20 cm - 2,5 meter) med centimetertykke mellomag av skifer eller siltstein, lokalt med inntil 20 cm tykke lag med konglomerat

#### Laksefjorddekkekomplekset (midtre dekkserie)

##### Laksefjord Nappe Complex (Middle Allochthon)

#### Bergarter av antatt mesoproterozoisk (sten) til neoproterozoisk alder

##### Rocks of inferred Mesoproterozoic (Stenian) to Neoproterozoic age

#### Omdannede sedimentære bergarter, stedvis med ganger av omdannet diabas

##### Metasedimentary rocks, in places with metadolomite dykes

- 5 Siltstein, fyllitt, lynnaminert, mørkegrå til dels svart, stedvis med centimeter-tykke lag av siltstein; meget sjelden med ganger av diabas
- 6 Sandstein, skifrig, lysegrå eller grønngrå, kryssjiktet med strammifler, i 5-20 cm tykke lag, med tynne mellomag (0,1-5 cm) av fyllitt; fyllittagene øker i hyppighet mot øverste del av formasjonen
- 7 Siltstein, fyllitt, lynnaminert, mørkegrå til dels svart, stedvis med sjkt eller centimeter-tykke lag av siltstein; enheten opptrer som takskifer ved selve Friarfjorden, like sør for kartbladet
- 8 Sandstein, kvartstittisk, lysegrå, i centimeter- til meter-tykke lag, med kryssjiktning, stedvis med centimeter-tykke lag av konglomerat (bergarten er bittet på fastlandet ca. 1 km øst for punkt B)

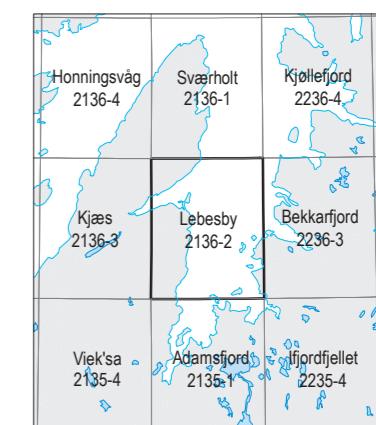
- 9 Skallnesdekket
- 10 Friarfjordformasjonen
- 11 Friarfjordformasjonen
- 12 Jerkumdekket
- 13 Jerkumdekket
- 14 Friarfjordformasjonen
- 15 Friarfjordformasjonen
- 16 Landersfjordformasjonen (bare i sørenden av snittlinje B-B')
- 17 Landersfjordformasjonen (bare i sørenden av snittlinje B-B')
- 18 Sandstein, kvartstittisk, lysegrå, i centimeter- til meter-tykke lag, med kryssjiktning, stedvis med centimeter-tykke lag av konglomerat (bergarten er bittet på fastlandet ca. 1 km øst for punkt B)

#### GEOLOGISKE LINJER OG SYMBOLER

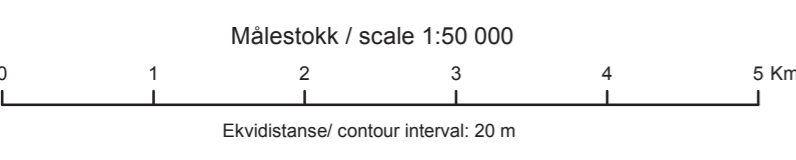
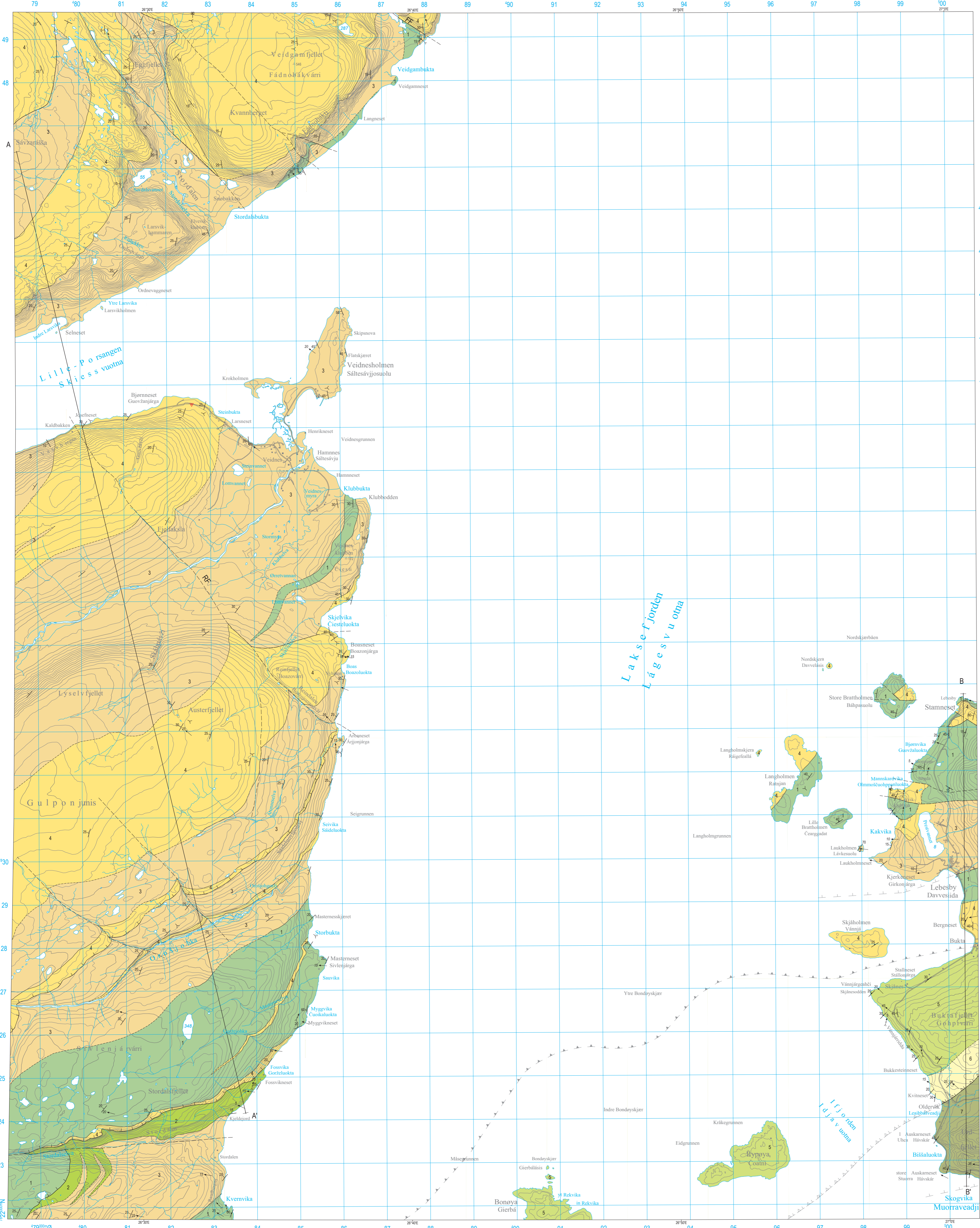
##### GEOLOGICAL LINES AND SYMBOLS

- Bergartsgrense, sikker / usikker
- Lithological boundary, definite / inferred
- Skyveforastning for Kalakdekkekomplekset, sikker / usikker eller tolket fra flyfoto
- Thrust-fault to the Kalak Nappe Complex, definite / inferred or interpreted from aerial photographs
- Skyveforastning for Skallnesdekket, sikker / usikker eller tolket fra flyfoto
- Thrust-fault to the Skallneset Nappe, definite / inferred or interpreted from aerial photographs
- Mindre skyveforastning, sikker / usikker eller tolket fra flyfoto
- Minor thrust fault, definite / inferred or interpreted from aerial photographs
- Skyveforastning, tolket under vann
- Thrust fault, interpreted below water
- Forkastning, sikker / usikker eller tolket fra flyfoto (FF - Flatvikforkastningen, RF - Reindalsforkastningen)
- Fault, definite / inferred or interpreted from aerial photographs (FF - Flatvik fault, RF - Reindalen fault)
- Lagring med planets heining angitt (30° mot NV, lodreitt)
- Bedding with dip indicated (30° towards NW, vertical)
- Rett-vel-opp / lagfelgen ut fra sedimentære strukturer (yngre lag mot NV)
- Foliation, main schistosity, with dip indicated (30° towards NW, vertical)
- Senere skiffighet eller krenulasjonsnivå, med planets heining angitt (50° mot NV)
- Later schistosity or crenulation cleavage, with dip indicated (50° towards NW)
- Foldesaks til folder dannet samtidig med foliasjonen, med stupning angitt (20° mot NØ)
- Axis of fold formed coevally with the foliation, with plunge indicated (20° towards NE)
- Foldesaks til folder som deformerer foliasjonen, med stupning angitt (25° mot NØ)
- Axis of fold that deforms the foliation, with plunge indicated (25° towards NE)
- Strekingslinnasjon, uddifferensiert, med stupning angitt (15° mot NØ, horisontal)
- Stretching lineation, undifferentiated, with plunge indicated (15° towards NE, horizontal)
- Snittlinje, A-A'
- Section line, A-A'

Prøvetakingssted for isotopdatabeltømmelse (sedimentær zircon, U-Pb): Ref: Kirkland m. fl. 2007  
Sample site for isotopic age determination (detrital zircon, U-Pb): Ref: Kirkland et al. 2007

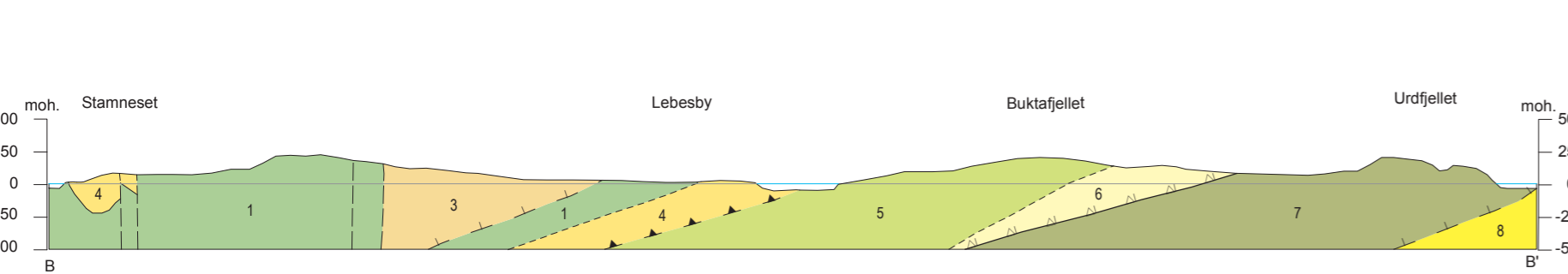
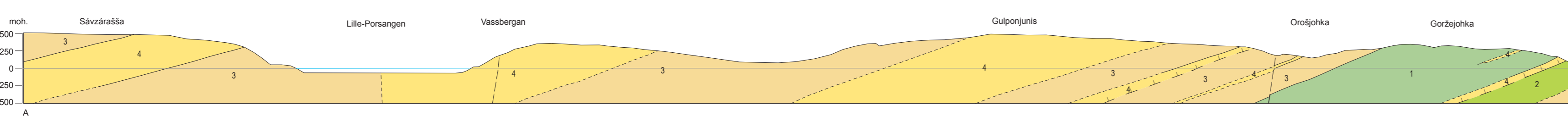


Referanse til kartet: Roberts, D. 2019: Berggrunnskart LEBESBY 2136-2, M 1:50.000. Norges geologiske undersøkelse



Topografisk grunnlag: Kartverket N50 kartdata  
Geodetisk grunnlag/ kartprojeksjon: EUREF89/ UTM-zone 35  
Digital kartproduksjon: Geomatikk, NGU  
Plottetversjon: August 2019

Geologisk kartlag av D. Roberts (1980-1989, hele området), T. Chapman (1976, Rypøya, Bondøya), G. Williams (1973, Lebesbyområdet + nærliggende øyer).  
Geology mapped by D. Roberts (1980-1989, whole area), T. Chapman (1976, Rypøya, Bondøya), G. Williams (1973, Lebesby area + nearby islands).  
Kartet er sammenstilt ved Norges geologiske undersøkelse av D. Roberts (1992, 2015)  
The map was compiled at the Geological Survey of Norway by D. Roberts (1992, 2015)



Litteratur:  
References:  
Chapman, T.J. 1980. The geological evolution of the Laksefjord Nappe Complex, Finnmark, North Norway. Unpubl. Ph.D. thesis, University of Wales.  
Ballmeyer, R.D., Reuter, A., Clauer, N. & Llewellyn, N. 1989. Chronology of Caledonian tectonothermal activity within the Laksefjord and Gaissa nappe complexes (Lower Allochthon), Finnmark, Norway: evidence from K-Ar and <sup>40</sup>Ar/<sup>39</sup>Ar ages. In Gayer, R.A. (ed.) The Caledonide geology of Scandinavia. Graham & Trotman, London, 9-26.  
Fayn, S., Chapman, T.J. & Roberts, D. 1983. Adamsfjord og Uruga'isa. Beskrivelse til de berggrunnsgeologiske kart 2135-1 og 2135-11 - M 1:50.000.  
Norges geologiske undersøkelse 381, 76 s.  
Kirkland, C.I., Daly, S. & Whitehouse, M.J. 2007. Provenance and Terrane Evolution of the Kalak Nappe Complex, Norwegian Caledonides: Implications for Neoproterozoic Paleogeography and Tectonics. The Journal of Geology 115, 21-41.  
Kirkland, C.I., Daly, S., Chew, D.M. & Page, L.M. 2008. The Finnmarkian Orogeny revisited: an isotopic investigation in eastern Finnmark, Arctic Norway. Tectonophysics 460, 158-177.  
Roberts, D. 1998. Berggrunnskart HONNINGSVAG - Geologisk kart over Norge, M 1:250.000. Norges geologiske undersøkelse.  
Roberts, D. 2007. Palaeogeographic data from the Kalak Nappe Complex, northern Norway: a key element in models of terrane affiliation. Norwegian Journal of Geology 87, 319-328.  
Williams, G.D. 1974. Stratigraphy, structure and metamorphism of the allochthonous units on the east side of Laksefjord, Finnmark, North Norway. Unpubl. Ph.D. thesis, University of Wales.  
Williams, G.D. 1974. Sedimentary structures in the amphibolite-facies rocks of the Bekkarfjord Formation, Laksefjord, Finnmark. Norges geologiske undersøkelse 311, 35-48.